

OSMANELİ (BİLECİK) YÖRESİNDEKİ ORBITOIDES'LERDE FOSİLLEŞME VE MİKROİZ AKTİVİTÉ

FOSSILIZATION AND MICROBORING ACTIVITY IN ORBITOIDES ACCUMULATIONS FROM OSMANELİ (BİLECİK)

Muhittin GÖRMÜŞ

Süleyman Demirel Üniversitesi, Mühendislik Fakültesi, Jeoloji Müh. Böl. 32260 Çünür-Isparta

ÖZ: Osmaneli (Bilecik) yöresinde, Üst Kretase yaşı Gölpazarı Grubu'nun üst düzeylerini oluşturan ince taneli kırıntılar, bol oranlarda *Orbitoides* içerir. Bu çalışma, *Orbitoides*'lerin fosilleşme özelliklerini ve kavkılarda gözlenen mikroiz aktivitelerini inceler. Araştırmada *Orbitoides*'lerin fosilleşme ve diğer organizmalar ile birlikteki hakkında gözlemler sunulmuş, kavkılarda değişik şekillerde görülen bu mikroizlerin nasıl gelişmiş olabilecekleri tartışılmıştır. Ayrıca, kavkılardaki mikroizlerin organizmaca zengin ortamlarda hermit tip bir yaşantının izleri olabileceği vurgulanmıştır.

Anahtar Sözcükler: Osmaneli (Bilecik), *Orbitoides*, fosilleşme, mikroiz, hermit yaşam.

ABSTRACT: Fine-grained sandstones of the upper part of Gölpazarı Group outcrops widely around Osmaneli (Bilecik) contain abundant *Orbitoides*. This study examines their fossilization and microboring activite observed within the *Orbitoides* tests. The investigation gives observations of the *Orbitoides* fossilization and associated fauna. It also discusses how the microactivity formed within the tests. Proofs show that microborings are related to a hermit type life and they were abundant within the clastics with rich fauna.

Key Words: Osmaneli (Bilecik), *Orbitoides*, fossilization, microboring, hermit type life.

GİRİŞ

İnceleme alanı Osmaneli (Bilecik) ilçesinin yaklaşık 1-1.5 km batısında yer alır (Şekil 1). Sahadaki Üst Kre-tase çökelleri iri foraminifer faunasında -*Orbitoides*-ce-zengindir (Meriç, 1967). Bölge jeolojisini (Eroskay, 1965; Altınlı, 1973a-b, 1974; Saner, 1978a-b; Yılmaz, 1981; Bargu, 1982; Yılmaz, 1992) konu edinen araştırmalar bulunmasına rağmen, *Orbitoides*'lerin sistematiğini belirten ve ayrıntılarına değinen çalışma azdır (Meriç, 1967, 1974).

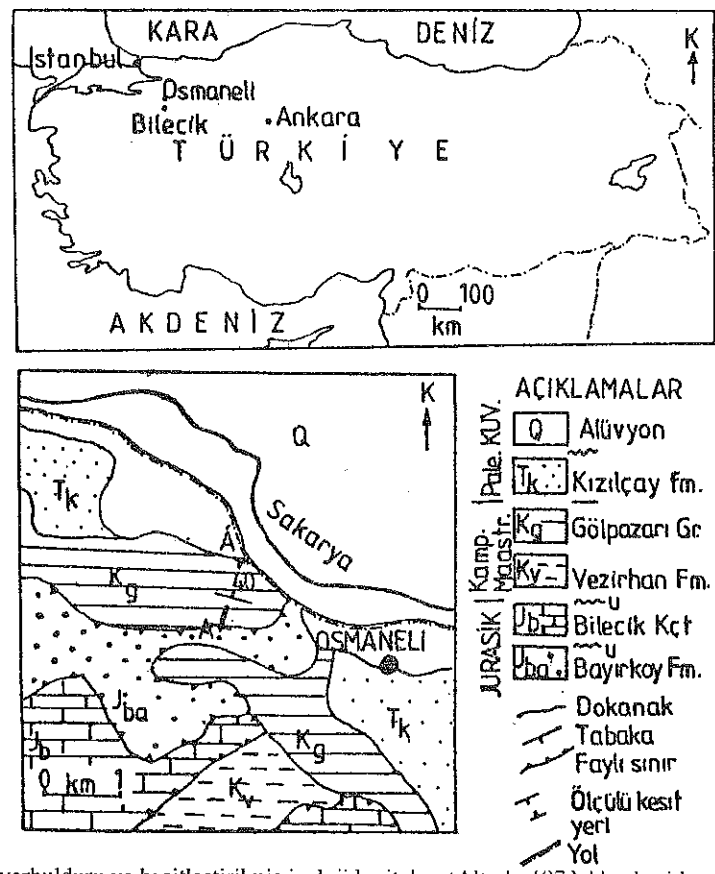
Orbitoides'lerin içerisinde gözlemediği birim, Eroskay (1965) tarafından Gölpazarı Grubu olarak adlandırılmıştır. İncelenen alanda istifin üst düzeyleri mostra vermektedir (Şekil 1). Grubun üst kesimleri Saner (1978a-b) tarafından Taraklı formasyonu, Bargu (1982) tarafından ise Nushetiye formasyonu olarak ayırtlanmıştır. Yeşilimsi, sarımsı renkli, ince-orta tabakalı, iyi boylanmış, silttaşılı-kiltaşılı litolojileri ile temsil edilir. Saner (1978a-b) formasyonun 100-300 metre arasında kalınlık sunduğunu belirtir. Gölpazarı Grubu çökellerin tabanında Kampaniyen-Maastrichtyen yaşlı, yanal geçişli olarak Vezirhan formasyonu yer alır. Gölpazarı Grubu'nun üstünde ise Paleosen yaşlı Selvipınar kireçtaşı ya da Kızılıçay formasyonu (kirıltılı çökeller) bulunmaktadır. Üst ilişkinin Osmaneli kuzeyinde uyumlu (Saner, 1978a-b;

Yılmaz, 1992), yer yer de uyumsuz geliştiği (Altınlı, 1973) belirtilmektedir. Birimin yaşı fauna içeriğine göre Orta-Üst Maastrichtyen'dir. Gölpazarı Grubu'nun ortamda başlangıçta havza, üste doğru ise sıklaşan bir istif özelliğindedir (Saner, 1978a-b; Yılmaz, 1992). İnceleme mevkii çevresinde Gölpazarı Grubu'nun tabanında yer alan diğer birimler Altınlı'ya (1973a-b) göre tabandan tavana doğru Jurasik yaşlı Bayırköy Formasyonu ve Bilecik Kireçtaşı'dır (Şekil 1).

Bu çalışmada *Orbitoides*'lerin kirıltılı çökeller içerisindeki konumları tartışılırak, yörede ilk kez *Orbitoides* kavkılari üzerinde gözlenen mikro ölçekteki tünel ve oyukların özelliklerinin verilmesi amaçlanmıştır. Arazi çalışması Kasım 1996'da gerçekleştirilmiş olup, 530 *Orbitoides* bireyin incekesiti hazırlanmış ve bu kesitlerden de 40'dan fazla bireyde mikroizlere rastlanılmıştır (Çizelge 1).

İSTİFLENME GÖZLEMLERİ

Ölülü kesit Gölpazarı Grubu'nun üst kısımlarını oluşturan Taraklı formasyonu kirıltılıları içerisinde gerçekleştirilmiştir (Şekil 2). Kesitin alt düzeylerinde *Orbitoides*'lere rastlanılmamıştır. Çok ince taneli, iyi boylanmış, yaklaşık 15-20 cm tabaka kalınlıklı, aşınma yüzeylerinde siyahımsı, sarımsı, taze yüzeylerinde genelde



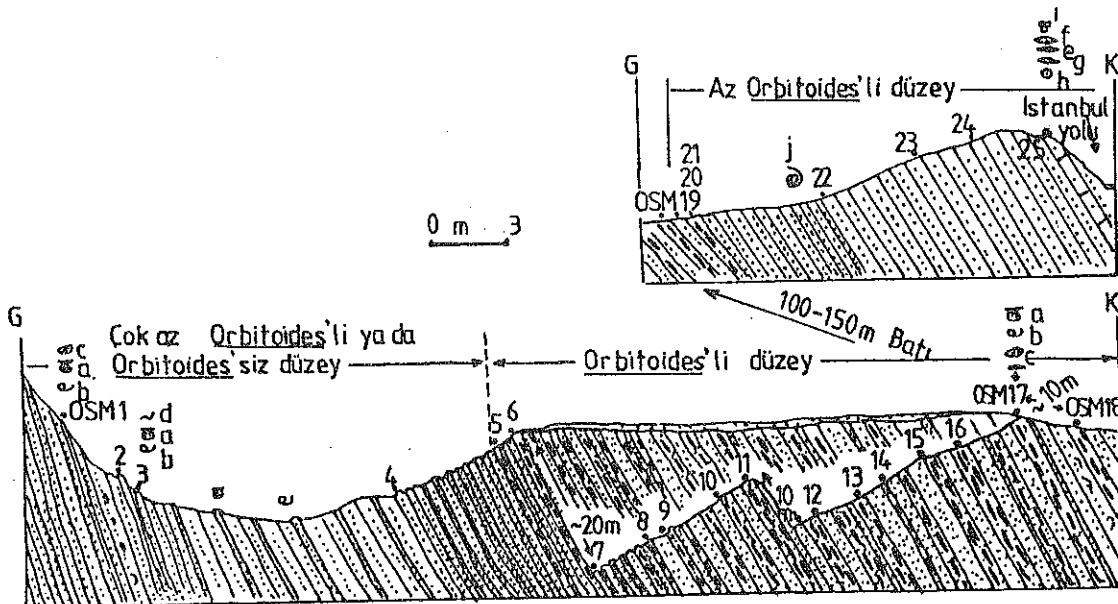
Şekil 1. İnceleme alanı yerbelduru ve basitleştirilmiş jeoloji haritaları (Altınlı, 1973'a'dan basitleştirilmiştir).

Figure 1. Location and simplified geological maps of the investigated area (modified after Altınlı, 1973a).

yeşilimsi, sarımsı gözlenen silttaşı-kumtaşlarının bazı tabaka yüzeylerinde *Ostrea* sp., *Exogyra* sp. *Pecten* sp. gibi pelesipod kavkiları görürlür. 20-30 cm'ye varan tabakalar 5-10 cm kalınlıktaki keskin dokanaklı kumtaşları ile ritmik bir şekilde gelişmiştir. Bazı tabaka yüzeylerinde 5-6 cm boyutlarına varan kireçtaşı ve fosil çakılları gözlenir. *Orbitoides*'siz bu tabakaların toplam kalınlığı ölçülebilen kesimde yaklaşık 20 metredir. *Orbitoides*'li tabakaların başlangıçta düzeyin genel özellikleri de yine başlangıçtaki tabakalar ile benzerdir. Fakat, *Orbitoides*'li tabakalar, *Orbitoides*'siz tabakalar ile ritmik bir şekilde gelişmiştir (Levhı 1, Şekil 1). Genelde 20-30 cm kalınlıktaki tabakalar, üstte doğru 1 metreye varan kalınlıklara ulaşmaktadır. *Orbitoides*'ler bir tabakanın tümünü kapladıkları gibi, tabaka içerisinde fosilli seviye şeklinde de görülebilmektedir. Hemen hemen eşboyutludurlar. Bazı tabakalarda yine yukarıda adları belirtilen pelesipod kavkilarına da rastlanılır. Mezarlığın hemen üstündeki tepe kısımlarında çok miktarlarda gözlenen *Orbitoides*'ler ile birlikte pelesipod kavki parçaları da bol orandadır. Bol *Orbitoides* kavkalarının yer aldığı bu tabakaların toplam kalınlığı da 30-40 metreye ulaşmaktadır. Batiya doğru dere boyunca tabaka konumları dikkate alınarak devam edilen kesitte başlangıçta 30-40 cm kalınlıktaki bol *Orbitoides*'li kumtaşları gözlenir. Üstte

tabakalı, fakat az oranda *Orbitoides*'lerin gözlendiği kumtaşları içerisinde nadir de olsa birkaç cm boyutlu, küçük ammonitlere rastlanılmıştır. İstanbul-Bilecik kawayoluun hemen kenarında gözlenen 5-10 cm kalınlıktaki karbonatlı kumtaşı tabakasında da *Orbitoides apiculatus* Schlumberger, *Siderolites calcitrapoides* Lamarck, *Hellenocyclina beotica* Reichel, *Sulcoperculina* sp. *Lepidorbitoides* sp. bulunmuştur (Levhı 1, Şekil 2). Çok nadir olarak planktonik foraminifer (Globotruncaniid?) gözlenmiştir. Az oranda *Orbitoides*'lerin gözlendiği bu tabakalar üstte doğru devam etmeyece olup, *Orbitoides* içeren karbonatlı tabaka ile bol *Orbitoides*'li tabakalar arası yaklaşık 30-40 metredir.

İnce taneli kumtaşlarının mikroskopik incelemeinde gerek *Orbitoides*'li ve gerekse *Orbitoides*'siz tabakaların hemen hemen aynı boyuttaki kirintılardan olduğu görülmektedir. İnce taneli kumtaşlarının mikroskopik incelemelerinde yaklaşık % 50-60 oranındaki kil bağlayıcı gözlenir. Kirintıların %70-80'e varan oranları kuvars, %10-15 oranını tortul kaya ve %5-10 oranını opak ve diğer mineral kirintıları oluşturur. Bunlar yarı köşeli, yuvarlak arasında şekillere sahip olup, eşboy tanelidirler. Boyutları genelde 0.1-0.2mm arasındadır. Yer yer demirli, gri kahverenkli mikritle bağlanmış olup, yer yer de rekristalize görünümüldür. *Orbitoides*'li



Şekil 2. Osmanieli (Bilecik) ilçesinin 1-1.5 km batısında mezarlık çevresinde gerçekleştirilmiş ölçülu kesit, a. *Pecten* sp., b. *Exogyra* sp., c. *Ostrea* sp., d. iz fosiller, e. *Orbitoides* sp., f. *Lepidorbitoides* sp., g. *Hellenocyclina* sp., h. *Siderolites* sp., i. planktik foraminifer, j. ammonit.

Figure 2. The measured section located at 1-1.5 km far from the Osmanieli (Bilecik) Town. Pecten sp., b. Exogyra sp., c. Ostrea sp., d. microborings, e. Orbitoides sp., f. Lepidorbitoides sp., g. Hellenocyclina sp., h. Siderolites sp., i. planktic foraminifera, j. ammonit.

aratabakalarda fosiller kayacın yaklaşık %30-40, bazen daha fazla oranlarını kapsamaktadır. Pelesipod kavkaları da nadiren gözlenir. Ender olarak glavkonit mineralleri de kumtaşlarının içerisinde görülür. Folk (1974) sınıflamasına göre kumtaşları kuvarsvaketaşı, litik vaketaşı olarak tanımlanmıştır.

Aigner (1982, 1983, 1985) iri bir foraminifer olan *Nummulites*'lerin birikimi, fasyesleri ve biyofabrik konusunda araştırma yapmıştır. A-B formlarının egenemenliği ile fosillerin tabaka içerisindeki yiğisimleri dikkate alınarak dört tip biyofabrik tanımlanmıştır (Aigner, 1985). Fiziksel etkilerin yanı sıra biyolojik aktivitelerin de önemli olduğu Wells (1986) tarafından vurgulanmıştır. İri bir foraminifer olan *Orbitoides*'li tabakaların fosilsiz tabakalar ile ritmik gözlenmesi, yalnızca *Orbitoides*'lerin bulunması ve mikroaktivite özelliklerinin gözlenmesi biyofabrik doku ve fosilleşme açısından dikkat çekicidir. Sahadaki *Orbitoides*'lerin aynı zaman aralığında kısa uzaklıklardan taşınmış olabilecekleri, hidrodinamik koşullar altında fosilsiz tabakalar ile ritmik gelişim sunabilecekleri düşünülmektedir. Şöyledi ki kırıntıların yarı köşeli ve ufak taneli oluşları akının yavaş olduğunu göstermektedir. Kırıntı gereçle birlikte *Orbitoides*'lerin az da olsa ayıklanarak taşınmaları mümkün gözükmemektedir. Keza, *Orbitoides* embriyon ve ekvatorial localarında da mikritik malzemenin görünmesi (çoğu rekristalize olmuş), zeminde bentik ve çamurlu kum tününde yaşayan organizmanın kum taneleri ile birlikte hafif akıntılı bir ortamda seçilme olasılığını desteklemek-

tedir. Belki, Aigner (1985) tarafından ileri sürülen paratokton topluluk şeklinde yorumlanabilir. Aigner (1982)'de belirtilen düzlemsel yiğisinin da hidrodinamik koşullar altında gerçekleştiği açıklar. Sahadaki *Orbitoides* bireylerinin birbirleriyle yer yer değişimi, yer yer de değimsiz oluşları, kayacın %30-40'na varan oranlarda kaplaması ve yalnızca *Orbitoides*'lerin gözlenmesi, küçük rotaliidlerin ayıklanarak uzaklaştırıldığından düşündürmektedir. Fosilsiz tabakaların aniden gözükmesi de zaman zaman hidrodinamik koşulların etkinliğini işaret eder. Diğer bir alternatif ise deniz düzey değişimi olabilir. *Orbitoides*'in derinliğe bağlı olarak popülasyonunu daha sıg kısımlara taşıdığı, tekrar deniz düzeyi düşüş ya da yükselişinde bollaştığı varsayılabılır. Fakat, birinci varsayımin aynı zaman aralığında, aynı ortamda, kısa uzaklıklarda hafif akıntılar ile taşınma, yoğunluk nedeniyle ayıklanma- daha uygun olduğu düşündürür. Çünkü çok kısa zaman aralıklarında deniz seviyesinde devamlı yükselis ve çıkışların mümkün olamayacağı açıklar.

MİKROİZ AKTİVİTE

Orbitoides kavkalarında gözlenen mikroiz yapılarına dünya'da ilk kez Fransa'da rastlanılmış ve bu oyuklar üzerinde gözlenen bir rotaliid formu tanımlanmıştır (Baumfalk ve diğ., 1982; Baumfalk ve Nijholt, 1984). Türkiye'den de ilk kez Hekimhan-Darende yörelerindeki *Orbitoides* kavkalarında bu tür mikroiz yapıları Görmüş (1996) tarafından sunulmuştur.

Çizelge1. Mikroiz özelliği gösteren örneklerin kavkı ve embriyon parametreleri ile tünel özelliklerini, t: kavkı kalınlığı, d: kavkı çapı, t+d: kavkı büyülüüğü, t/d: kavkı şekli, Li+li: embriyon büyülüüğü (Li: embriyon iç çeper genişliği; li: embriyon iç çeper yüksekliği), li/Li: embriyon şekli, E: toplam oksiliyer loca sayısı, P: toplam embriyon sonrası loca sayısı, E/P: ekvatoral localarda büyümeye, te: embriyon kalınlığı, T: tünel, O: oyuk, E-tah.: embriyonu tahrif edilmiş birey, K: kuvars kırıntılı, Op: opak kırıntılı, S: sedimentter kırıntılı, tg: iz genişliği.

Table 1. Tunnel features and test - embryo parameters of *Orbitoides* individuals having microboring activity, t: test thickness, d: test diameter, t+d: test size, t/d: test shape, Li+li: embryo size, li/Li: embryo shape, E: the number of auxilliary chambers, P: the number of peri-embryonic chambers, E/P: budding step, te: embryo thickness, T: tunnel, O: burrow, E.tah: the individual having damaged embryo, K: with quartz mineral, Op: with opaque clast, S: with sedimentary clast, tg: width of tunnels.

S.N	Örnek no	d	t	t+d	t/d	Lo+lo	Li+li	li/Li	E	P	E/P	te	şekil	oran	d.öz.	tg
1	OSMS.14	5.2	1.3	6.5	0.25	1.228	0.990	0.72	14	27	0.52	0.059	T	az/kısa		0.297
2	OSM8.1	7.5	1.1	8.6	0.15	0.990	0.871	0.90	9	16	0.56	0.030	O	az/geniş		0.9-2.5
3	OSM10.29	5.5	1.2	6.7	0.22	1.663	1.445	0.87	15	30	0.50	0.054	T	az		0.198
4	OSM12.21	7.0	1.2	8.2	0.17	1.366	1.129	0.90	11	28	0.39	0.059	T	az		0.14
5	OSM12.25	5.0	1.3	6.3	0.26	0.455	0.416	0.75	5	14	0.36	0.010	O-T	az		0.198
6	OSM12.39	7.0	1.5	8.5	0.21	1.490	0.950	1.00	9	24	0.38	0.025	T	az	K.	0.198
7	OSM13.27	6.0	1.2	7.2	0.20	0.722	0.673	0.79	8	16	0.50	0.025	T	orta	K	0.09-0.24
8	OSM13.29	6.2	1.4	7.6	0.23	1.940	1.544	0.69				0.099	T	orta-uzun		0.09-0.24
9	OSM14.10	7.0	1.3	8.3	0.19	0.941	0.772	0.73	12	26	0.46	0.042	O-T	az-kısa		0.03-0.09
10	OSM14.13	5.0	1.2	6.2	0.24	0.980	0.802	0.88	11	23	0.48	0.045	T-helezon	orta		0.09-0.15
11	OSM14.20	7.0	1.3	8.3	0.19	1.287	1.148	1.00	14	28	0.50	0.033	O	orta	K-Op.	1.2-1.6
12	OSM14.22	5.5	1.2	6.7	0.22	1.346	1.178	0.59	14	29	0.48	0.042	T-dairesel	fazla-uzun		0.4
13	OSM14.34	5.0	1.2	6.2	0.24	0.891	0.772	0.95				0.030	O	az-kısa	Op.	0.33
14	OSM15.28	5.5	1.2	6.7	0.22	0.931	0.772	0.95	13	28	0.46	0.040	O	az-kısa	E-tah.	0.29
15	OSM15.37	5.0	1.0	6.0	0.20	1.139	1.010	0.89	14	28	0.50	0.032	T	az		0.07
16	OSM16.12	5.0	1.2	6.2	0.24	0.950	0.792	0.82	11	23	0.48	0.040	T-O	az-uzun		0.09
17	OSM17.14	5.5	1.0	6.5	0.18	1.108	0.960	0.94	11	25	0.44	0.037	T	orta-uzun		0.09
18	OSM17.27	5.0	1.3	6.3	0.26	1.188	1.030	0.92	15	33	0.45	0.039	T	az-uzun		0.04
19	OSM18.1	10.0	1.6	11.6	0.16	MJK.							T-zig-zag	fazla-uzun	E-tah.	0.2
20	OSM18.3	8.0	1.5	9.5	0.19	0.822	0.713	1.00	8	16	0.50	0.027	T-zig-zag	fazla-uzun	K	0.12-0.3
21	OSM18.4	7.0	1.3	8.3	0.19	1.208	1.030	0.86	10	23	0.43	0.045	T	az-kısa		0.14
22	OSM18.15	8.0	1.4	9.4	0.18	1.505	1.267	0.83	11	23	0.48	0.059	T	az		0.12
23	OSM18.17	6.0	1.3	7.3	0.22	0.950	0.851	0.83	8	17	0.47	0.025	T	az-orta		0.14
24	OSM18.23	8.5	1.3	9.8	0.15	1.624	1.366	0.86				0.064	T-O	az-orta	K	0.4
25	OSM18.27	7.0	1.2	8.2	0.17	MJK.							T	fazla-uzun	K-S	0.4
26	OSM18.34	8.0	1.4	9.4	0.18	2.515	2.119	0.65	14	29	0.48	0.099	T	orta-uzun		0.06
27	OSM18.36	10.5	1.3	11.8	0.12	1.267	1.109	0.87	13	26	0.50	0.040	T-O	az-orta		0.2
28	OSM18.40	9.0	1.2	10.2	0.13	1.485	1.247	0.91	14	25	0.56	0.039	T	fazla-uzun	S	0.4
29	OSM19.2	5.0	1.1	6.1	0.22	0.931	0.792	1.00				0.035	T	fazla-uzun	S	0.2-0.3
30	OSM19.7	9.0	1.4	10.4	0.16	1.188	1.049	0.89				0.035	T	az	E-tah.	0.1-0.2
31	OSM19.8	8.0	1.4	9.4	0.18	1.663	1.475	0.89	13	25	0.52	0.047	T	az		0.1-0.2
32	OSM19.11	8.0	1.4	9.4	0.18	1.307	1.158	1.00	13	26	0.50	0.037	T	orta		0.3
33	OSM19.17	5.5	1.2	6.7	0.22	1.247	1.129	0.78	12	23	0.52	0.030	T	orta		0.3
34	OSM19.20	5.5	1.2	6.7	0.22	1.445	1.247	0.97	15	30	0.50	0.049	T	orta		0.3
35	OSM19.21	7.5	1.2	8.7	0.16	0.950	0.812	0.71				0.035	T	az		0.2
36	OSM19.22	7.0	1.2	8.2	0.17	0.911	0.812	0.71	9	17	0.53	0.025	T	orta		0.2
37	OSM19.25	6.0	1.1	7.1	0.18	0.832	0.693	0.67				0.035	T	fazla-uzun	E-tah.	0.09
38	OSM19.29	6.0	1.0	7.0	0.17	1.287	1.168	0.69	14	27	0.52	0.030	T	az-uzun		0.2
39	OSM19.30	7.0	1.1	8.1	0.16	1.148	1.000	0.68	12	24	0.50	0.037	T-zig-zag	fazla-uzun	E-tah.	0.2
40	OSM19.32	12.0	1.4	13.4	0.12	MJK.							T-zig-zag	fazla-uzun	S	0.2-0.4
41	OSM21.6	12.0	1.3	13.3	0.11								O-T	orta		0.2
42	OSM21.8	9.0	1.3	10.3	0.14								O	az		0.2
43	OSM21.11	8.5	1.3	9.8	0.15	1.525	1.368	0.79				0.035	T-zig-zag	fazla-uzun	E-tah.K	0.2-0.3
	TOPLAM	303	54	357	8.1	46.43	39.659	31.88	352	729	14.47	1.591				
	ORT.	7.04	1.2	8.3	0.19	1.22	1.04	0.84	12	24	0.48	0.042				0.24

Osmaneli (Bilecik) yöresindeki *Orbitoides* kavaklılarında da mikroiz yapıları ilk kez rastlanılmıştır. Oyuklu kavaklılar özellikle üst düzeylerdeki bireylerde gözlenmiştir. Bu tabakaların organizma açısından zengin olduğu da görülmüür. Pelesipodlardan *Pecten* sp., *Ostrea* sp., *Exogyra* sp. gibi kavaklılar bol oranlardadır. Mikroiz yapısının gözlentiği örneklerin kavkı ve embriyon parametreleri ile ilgili değerler Çizelge 1'de sunulmuştur. Bu tür yapıların gözlentiği bireylerdeki kavkı ve embriyon özellikleri ile ilgili ortalama, maksimum ve minimum değerler Çizelge 2'de verilmiştir.

Çizelge 2. Mikroiz yapılarının gözleniği *Orbitoides* bireylerinin kavkı ve embriyon parametrelerinin ortalama, maksimum ve minimum değerleri, t: kavkı kalınlığı, d: kavkı çapı, t/d: kavkı şekli, Li+li: embriyon büyütüğü (Li: embriyon iç çeper genişliği; li: embriyon iç çeper yüksekliği), li/Li: embriyon şekli, E: toplam oksiliyer loca sayısı, P: toplam embriyon sonrası loca sayısı, E/P: ekvatoral localarda büyümeye, te: embriyon kalınlığı.

Table 2. Maximum, minimum and arithmetical mean values of test and embryo parameters of *Orbitoides* individuals having microboring activity, t: test thickness, d: test diameter, t/d: test shape, Li+li: embryo size, li/Li: embryo shape, E: the number of auxiliary chambers, P: the number of peri-embryonic chambers, E/P: budding step, te: embryo thickness, tg: width of tunnels.

	ortalama (mean value)	maksimum maximum	minimum minimum
t(mm)	1.2	1.6	1
d(mm)	7.04	12	5
t/d	0.19	0.26	0.11
Li+li(mm)	1.044	2.119	0.416
li/Li	0.84	1	0.59
E	12	15	5
P	24	33	14
E/P	0.48	0.56	0.36
te(mm)	0.042	0.099	0.01
Tünel	0.24	2.5	0.03
genişliği-tg (mm)			

Kavaklı üzerinde gözlenen mikroiz yapılar a) düz hatlı, dairesel-yarı dairesel b) zigzaglı görüntüler sunar. Tünel genişlikleri ve uzunlukları ömekten örneğe değişmektedir. Bununla birlikte tünel ya da oyuk şeklinde gelişen izlerin genişlikleri 0.03-2.5 mm arasında değişim sunmaktadır. Tüneli oluşturan organizmanın bazen *Orbitoides* embriyonuna kadar sokulduğu ve embriyonu tahrip ettiği de görülmür. Tünel içeriği genelde rekristalize olmuştur. Birkaç örnekte çoğunuğu kuvars, opak mineral ve kil kırıntıları olmak üzere dışarıdan taşınan parçalara rastlanmıştır. Oyuklar daha geniş olup, içlerinde kırıntılar fazla orandadır. Tünellerin bazılarının kenarları mikritize olmuştur. Yer yer de ekvatoral locaların bir kısmının tahrip olduğu, diğerlerinin içlerinin ise bir hat boyunca kil malzemesi ile doldurulduğu, ya da dolduğu görülür. Tünel yapılarının genelde embriyon içlerine kadar indiği, oyukların ise kenar kısımlarında geliştiği gözlenir.

Kavıklarda gözlenen bu mikroiz aktivitelerin a) nasıl oluşabileceği b) ne tip organizmalarca gerçekleştirildiği

tartışma konusudur. Organizmalardaki yaşam şekli olan parazitik ya da simbiyotik (ortak yaşamlı) bir yaşamın bu organizma kavkı üzerinde organizma yaşadığı sürece gerçekleştiği ve bu simbiyotik ya da parazitik yaşamlı organizmanın *Orbitoides* ölümden sonra uzaklaşlığı düşünülebilir. Keza, iri foraminiferlerin bazı organizmalar ile simbiyotik yaşamlı olduğu ve bunun da derinlikle kontrol edildiği yapılan çalışmalar ile ortaya konmuştur (Haynes, 1965; Hallock, 1979). Bunlara ek olarak endoparazitik yaşam şeklinin de foraminiferlerde olabilecegi Banner (1971) tarafından belirtilmiştir. Tüm bunlara

rağmen, ölü kavaklıları kendine konak yeri seçerek yaşamını gerçekleştirmiş bir organizmanın olabileceği de mümkündür. Keza, Le Calvez (1972) Banner'in verdiği örneklerin ölü kavaklı üzerine yerleşiklerini savunmuştur. Ayrıca, Baumfalk ve dig. (1982), Baumfalk ve Nijholt (1984)'da bu tip yaşamı tartışımlarıdır. Görmüş (1996)'da belirtildiği gibi organizmanın içine kadar girebilecek kırıntıların bir kaç örnekte de rastlanılmış olması ve yalnızca ekvatoral loca kısımlarında değil, lateral loca kısımlarında da gözlenmesi, bu tip oyukların hermit bir yaştanının sonucu gerektiğini ortaya koyar. Osmaneli (Bilecik) yöresindeki mikroizlerde de kırıntı gerecin gözlenmesi, embriyonun bile tahrip edilmiş olması hermit tip bir yaştanın destekler. *Orbitoides*'ler üzerinde gözlenen bu mikroizlerin Aigner (1983) tarafından *Nummulites*'ler üzerinde görülen mikroizlere benzettiği de görülmektedir. Bryozoon, serpulid ve küçük pelesipodların *Nummulites* kavaklılarını biyolojik bir zemin olarak kullandıkları belirtilmektedir. Dolayısıyla, *Orbitoides* üzerindeki izlerin bir başka rotaliid (Baumfalk ve

LEVHA AÇIKLAMALARI

LEVHA 1

1. İnce taneli kumtaşlarında *Orbitoides*'li (o) ve fosilsiz tabakaların ritmik gelişimi.
2. *Siderolites calcitrapoides* Lamarck ekvatorala yakın kesit OSM25.
3. *Orbitoides apiculatus* Schlumberger, aksiyal kesit, kenarda diğer bir rotaliid ile beraber OSM25.
4. Embriyona kadar ilerlemiş yarı dairesel mikroiz, OSM14.13.
5. Ekvatoral lokalardında ve embriyonda mikrit kalıntılar, OSM19.26.
6. Dairesel, zig-zaglı mikrotünel yapısı, OSM18.3.
7. Mikrosferik bir *Orbitoides* bireyi, OSM10.6.

LEVHA 2

1. Dairesel, oyuk şeklinde gelişmiş iz, OSM14.22.
2. Dairesel, oyuk şeklinde gelişmiş, içerişi opak, kuvars ve kıl kırtıtlarla dolmuş iz, OSM15.37.
3. Embriyona kadar ilerlemiş zig-zaglı mikrotünel yapısı, OSM19.32.
4. Embriyona yakın, oyuk şekilli gelişmiş iz, SM5.14.
5. Kavki kenarına yakın, içerişi kırtıtlarla dolmuş ve oyuk şeklinde gelişmiş iz, OSM14.20.
6. Mikrosferik bir bireye embriyon yakınlarında gelişmiş mikroiz, OSM18.27.
7. Zig-zaglı bir başka mikroiz, OSM19.30.

LEVHA 3

1. İçi rekristalize olmuş mikroiz, OSM18.40.
2. Embriyon kenarında gelişmiş mikroiz, OSM13.29.
3. Embriyonu tahrip edilmiş, mikrotünelinin içerişine kırtıtların doldurulduğu birey, OSM18.1.
- 4-5-6. Zig-zaglı mikroizler, OSM13.27, OSM19.30, OSM18.40.
7. İçerisi killi malzeme ile doldurulmuş mikroizler, embriyonlar tahrip edilmiş, OSM19.2, SM21.11.

Tüm levhalarda çizgisel ölçek 0.2 mm'yi göstermektedir.

EXPLANATIONS OF PLATES**PLATE 1**

1. Rhythmic deposition of barren and fossiliferous strata with *Orbitoides* (o).
2. *Siderolites calcitrapoides* Lamarck, equatorial section, OSM25.
3. *Orbitoides apiculatus* Schlumberger, axial section, OSM25.
4. Sub-rounded microboring reached up to embryo, OSM14.13.
5. Re-crystallization of original micrite cement in the both embryo and equatorial chambers, OSM19.26.
6. Rounded, waved micro-tunnels, OSM18.3.
7. A microspheric *Orbitoides*, OSM10.6.

PLATE 2

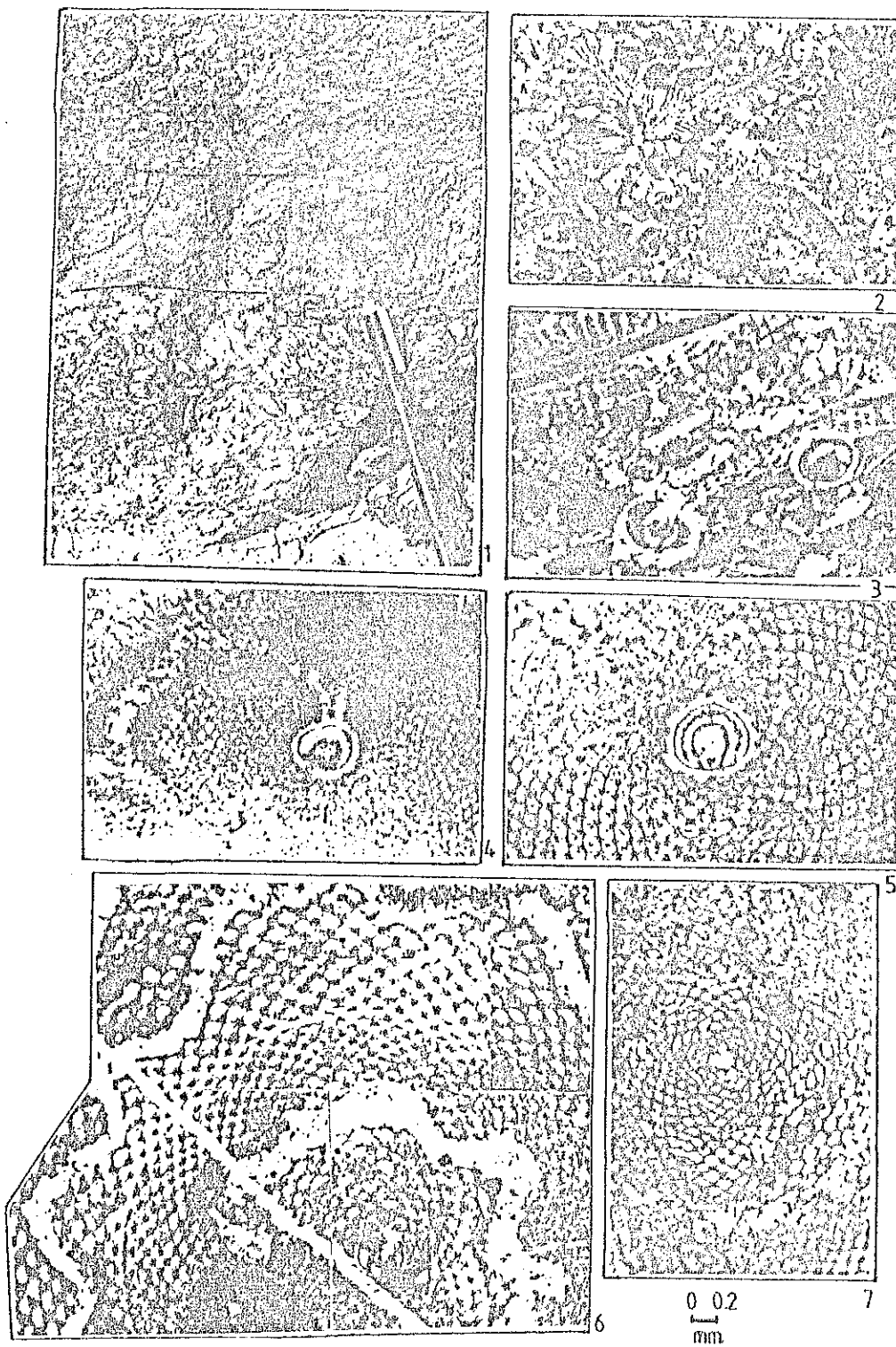
1. A rounded burrow, OSM14.22.
2. Another rounded burrow having opaque, quartz minerals and clayey clasts, OSM15.37.
3. A waved micro-tunnel reached up to embryo OSM19.32.
4. A burrow near to embryo, OSM5.14.
5. Another burrow near to periphery having micro-clasts, OSM14.20.
6. A microboring near to embryo in a microspheric individual, OSM18.27.
7. Another waved microboring, OSM19.30.

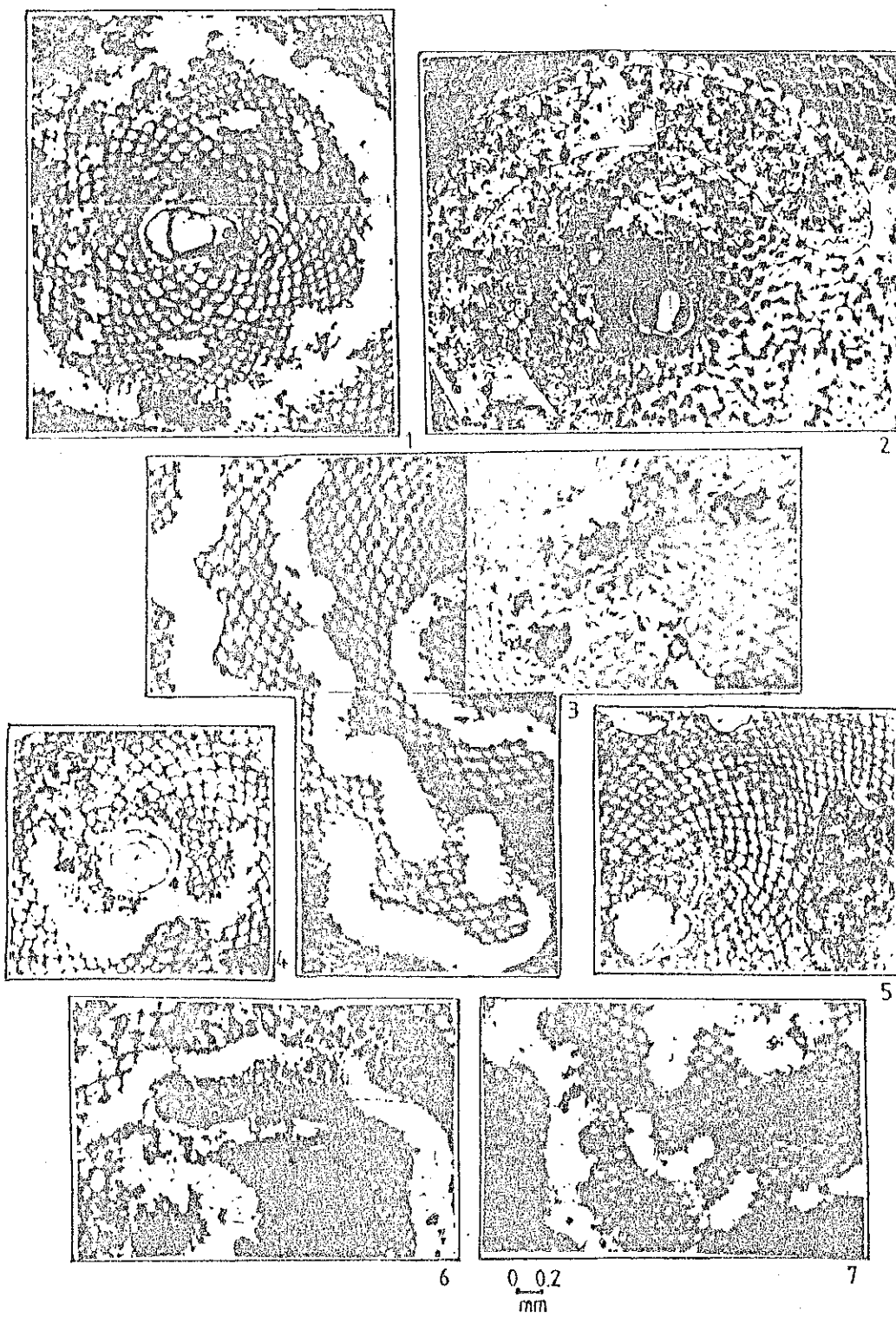
PLATE 3

1. A re-crystallized micro-tunnel, OSM18.40.
2. A burrow next to embryo, OSM13.29.
3. A damaged embryo and tunnel view, OSM18.1.
- 4-5-6. Waved microborings, OSM13.27, OSM19.30, OSM18.40.
- 7-8. Tunnels filled with clay and damaged embryos, OSM19.2, OSM21.11

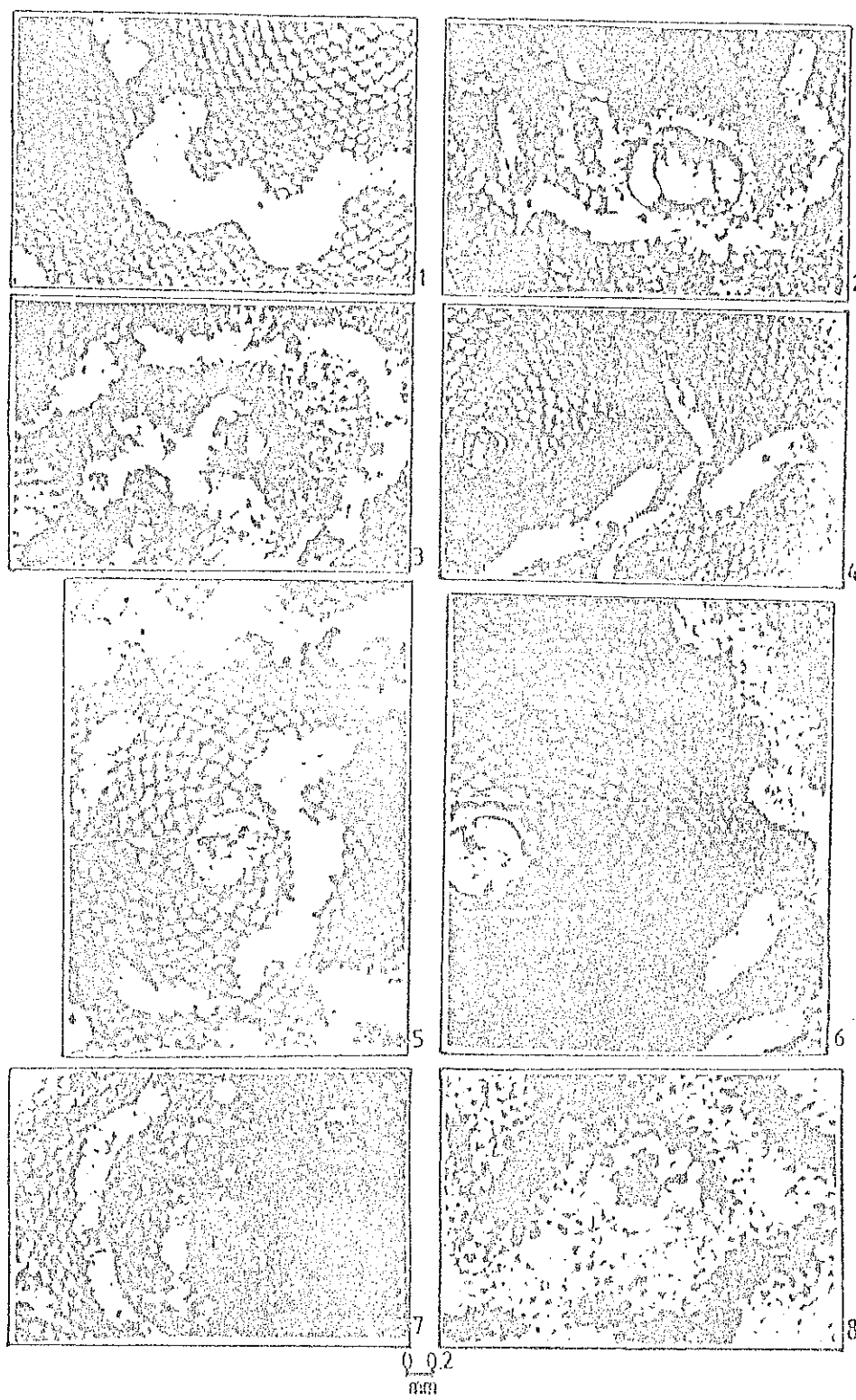
Scale shows 0.2 mm.

LEVHA 1





LEVHA 3



diğ. 1982; Baumfalk ve Nijholt, 1984; Görmüş, 1996) tarafından mı yoksa serpulidler tarafından mı yapıldığı açık olmamakla birlikte, farklı şekillerin gözlenmesi, farklı tip organizmaların bu tip tüneleri oluşturabileceğini düşündürmektedir. Bir başka varsayımda, bu izlerin endoparasitik bir organizmaca oluşturulduğu, bir başka mikroorganizmanın burayı konak yeri olarak seçtiği düşünülebilir. Keza, bir tünel içerisinde Görmüş (1996) tarafından bu oyuklar içerisinde bir rotaliid forma rastlanılmıştır. Dolayısıyla biyolojik aktivitenin ne tür organizmalarca oluşturulduğu, bunların şekillerinin derinlikle bağlantısı tartışma konularını oluşturmaktadır. Şüphesizki derinlik ile izfosil şekillerinin değişimini de mümkün değildir (Özer, 1983).

SONUÇLAR

Osmaneli (Bilecik) yöresinde ince taneli kirintıları içerisinde derlenen *Orbitoides*'lerin fosilleşmesi sırasında seçilmiş ve diğer bentik organizmalarla birlikte bulunmamış olmaları, bunların kavkı yoğunlukları nedeniyle aynı zaman aralığında, aynı ortamda çok kısa uzaklıklarda ayıklanarak taşındıklarını düşündürmektedir. Keza, bu tip taşınmalar *Nummulit*'ler de de gözlenmiştir (Aigner, 1985). Ayrıca, *Orbitoides* kavıklarında gözlenen mikroizlerin a) düz hatlar, dairesel, yarı dairesel b) zig-zaglı görüntüler şeklinde gelişmiş olması, embriyonun bile tahrip edilmiş ve bazı bireylerde tünelerin kirintılı gereçle dolmuş olması hermit tip yaşantılı mikroorganizmalarca bu mikroizlerin gerçekleştirildiği ni ortaya koyar. Bu tip mikroiz yapıları Osmaneli (Bilecik) yöresinden ilk kez verilmiştir. Osmaneli yöresinde de bu tip mikroizlerin-mikrotünellerin Malatya yöresinde olduğu gibi (Görmüş, 1996) organizmaca zengin kısımlarda fazlalığı, degenilen tip tünelerin korunma ve yerleşim amaçlı konak yerleri olabileceği ortaya koyar. Mikroizlerin şekillerinin farklılığı ise bu izlerin değişik tip organizmalarca oluşturulduğu olasılığını düşündürmektedir.

KATKI BELİRTME

Arazi seçimini ve çalışmanın yapılmasını öneren ve araştırma süresince her türlü yardımcı esirgemeyen Prof. Dr. Engin MERİÇ'e (İ.Ü) teşekkür ederim.

SUMMARY

The investigation area is located at 1-1.5 km far from the Osmaneli Town (Fig. 1). Upper Cretaceous sediments in the area contain abundant *Orbitoides* (Meriç, 1967; 1974). The aim of this study is to bring out the features of microboring activity seen in the *Orbitoides* tests.

Clastics from the measured section, upper part of the Taraklı formation of the Gölpaşarlı Group (Eroskay, 1965; Altınlı, 1973a-b, 1974; Saner, 1978a-b) include three parts, fine graded sandstones with very rare *Orbi-*

toides, rhythmic deposition of barren clastics and clastics having abundant *Orbitoides*, clastics with rare *Orbitoides apiculatus* Schlumberger, *Siderolites calcitrapoides* Lamarck, *Hellenocydina beotica* Recihel, *Sulcoperculina* sp. *Lepidorbitoides* sp.

Rhythmic deposition of barren clastics and having abundant *Orbitoides*, sorting of *Orbitoides* tests, not seen of any kind of benthics but *Orbitoides* indicate that physical-hydrodynamic conditions affected the fossilization of the genus. It is assumed that they were winnowed by current in the short distance in the same time. Another possibility of these observations can be thought as a result of sea level changes. But the first one seems to be more possible.

Microboring activity within or in the *Orbitoides* tests was given the first time from the area. The microborings are different in shape and size. Rounded-subrounded and waved tunnels and burrows have mainly recrystallized calcite. Some of them have various clasts such as quartz, opaque minerals and clayey pebbles. Tunnel features, test-embryo parameters, and maximum, minimum and arithmetical mean values of test and embryo parameters of *Orbitoides* individuals having microboring activity are presented in Table 1 and 2. The discussion was on the what kind of organism made these tunnels - burrows and how happened. Three kinds of life (symbiotic, parasitic and hermit) seem to be possible. However, seen a rotaliid form in the a few *Orbitoides* tests (Baumfalk et al. 1982; Baumfalk and Nijholt, 1984; Görmüş, 1996), filling material and damaged embryos and both equatorial-lateral chambers show a hermit type life. A serpulid, or any kind of micro-organisms formed these features. But it is questionable which one it was. It is thought that some of these tunnels were formed by a rotaliid such as in the Hekimhan area (Görmüş, 1996).

DEĞİNİLEN BELGELER

- Aigner, T., 1982, Event-stratification in Nummulite accumulations and in shell beds from the Eocene of Egypt. In: Cyclic and event stratification (Einsele, G. and Seilacher, A. eds.), Berlin, Heidelberg, NY, Springer-Verlag, 248-262.
- Aigner, T., 1983, Facies and origin of Nummulitic buildups: An example from the Giza Pyramids Plateau (M. Eocene, Egypt). N.Jb. Geol. Paleont. Abh. 166, 3, 347-368.
- Aigner, T., 1985, Bifabrics as dynamic indicators in Nummulitic accumulations. J. of Sedimentary Petrol. 55(1), 131-134.
- Altınlı, İ.E., 1973a, Orta Sakarya jeolojisi. Cumhuriyetin 50. yılı, Yerbilimleri Kongresi, Tebliğler, MTA, Ankara, 159-191.

- Altınlı, İ.E., 1973b**, Bilecik Jurasığı. Cumhuriyetin 50. yılı, Yerbilimleri Kongresi, Tebliğler, MTA, Ankara, 103-111.
- Altınlı, İ.E., 1974**, The problem of the depositional environments of the Kızılıçay Group along the Sakarya River's middle reach. İst. Üniv. Fen Fak. Mecm., Seri B, 39 (3-4), 233-240.
- Banner, F.T., 1971**, A new genus of the Planorbulinidae: an endoparasite of another foraminifer: Revista Espanola de Micropaleontologia, 3(2), 113-128.
- Bargu, S., 1982**, The geology of İznik-Yenişehir (Bursa), Osmaneli (Bilecik) area. İstanbul, Yerbilimleri, 3 (1-2), 191-234.
- Baumfalk, Y.A., Fortuin, A.R., ve Mok, R. P. 1982**, Talpinella conicularia n. gen. n. sp., a possible foraminiferal parasite of Late Cretaceous *Orbitoides*. J. of Foraminiferal Research, 12(3), 185-196.
- Baumfalk, Y.A. ve Nijholt, K.J., 1984**, Talpinella and *Orbitoides*: 18 million years of close relationship between two foraminiferal genera. J. of Foraminiferal Research, 14(1), 77-81.
- Eroskay, S.O., 1965**, Geology of the Paşalar Gorge-Gölpazarı area. İst. Üniv. Fen Fak. Mecm. seri B, 30 (3-4), 135-170.
- Folk, R.L., 1974**, Petrology of sedimentary rocks. Hemphills, Austin, Texas.
- Görmüş, M., 1996**, *Orbitoides*'erde fosilleşmeye Hekimhan (KB Malatya) ve Darende'den (B Malatya) örnekler. SDİ, IX. Müh. Sempozyumu, 29-31 Mayıs 1996, Jeo. Mühendisliği Seksyonu, 21-28.
- Hallock, P., 1979**, Trends in test shape with depth in large, symbiont-bearing foraminifera. J. of Foraminiferal Research, 9(1), 61-69.
- Haynes, J., 1965**, Symbiosis, wall structure and habitat in foramanifera. Cushman Found. Foram. Research Contr. 16, 40-43.
- Le Calvez, Y., 1972**, A propos de Planorbulinopsis parasitica Banner considere comme endoparasite d'un autre foraminifère. Chaiers de Micropaleontologie, 3, 1-4.
- Meriç, E. 1967**, Türkiye'deki bazı Loftusiidae ve Orbitoididae'ler hakkında-Sur quelques Loftusiidae et Orbitoididae de la Turquie. İst. Üniv. Fen Fak. Mecm., B, 32 (1-2), 1-58, 36 lev.
- Meriç, E. 1974**, Türkiye'de bulunan başlıca Loftusiidae ve Orbitoididae'lerin stratigrafik yayılımı ve paleontolojik incelemesi. İst. Tek. Üniv. Doçentlik tezi, 116s. 46 levha.
- Özer, S., 1983**, İzfosiller ve İzbilim. Yeryuvarı ve insan, Ankara, 7(4), 7-14.
- Saner, S., 1978a**, Geology and the environments of deposition of Geyve-Osmaneli-Gölpazarı-Taraklı area. İst. Üniv. Fen Fak. Mecm. seri B, 43, 63-91.
- Saner, S., 1978b**, Orta Sakarya'daki Üst Kretase-Paleosen-Eosen çökelme ilişkileri ve Anadolu'da petrol aramalarındaki önemi. Türkiye 4. Petrol Kong. Tebliğler, 94-114.
- Wells, N.A., 1986**, Biofabrics as dynamic indicators in Nummulite accumulations-Discussion1, J. of Sedimentary Petrology 56(2), 317-320.
- Yılmaz, Y., 1981**, Sakarya Kıtası güney kenarının tektonik evrimi. İst. Yerbilimleri, 1(1-2), 33-52.
- Yılmaz, K., 1992**, Mekece (Adapazarı) - Bahçecik (Kocaeli) dolayının jeolojik ve petrografik incelemesi. İst. Üniv. Fen Bilim. Enst. Doktora tezi, 260s.

Makalenin geliş tarihi : 24.4.1997

Makalenin yayına kabul edildiği tarih : 16.6.1997

Received April 24, 1997

Accepted June 16, 1997